

立命館大学理工学部 正会員 児島孝之 立命館大学理工学部 正会員 高木宣章
立命館大学大学院 学生員○東野幸史 (株)熊谷組 伊藤浩二

1.はじめに

炭素繊維シートによる既存コンクリート構造物の補強が多く施工されるようになってきた。本研究では膨張ペーストの注入により緊張した炭素繊維シートが、R Cはりのせん断耐力に及ぼす影響について検討する。

2. 実験概要

供試体の名称および要因を表-1に示す。タイプA供試体は通常行われているシートを樹脂ではりに接着したもの[1]であり、タイプB供試体は樹脂で固めたシートとはりの間に膨張ペーストを注入することによりシートを予め緊張したはりである。使用した炭素繊維シートの特性を表-2に示す。膨張ペーストの膨張材量は2水準とし、その示方配合を表-3に示す。供試体寸法は $15 \times 24 \times 200\text{cm}$ の鉄筋コンクリートはりで、有効高さは 20cm とした。供試体がせん断破壊をするように引張鋼材として異形P C鋼棒を使用し、緊張せずに定着板により供試体端部に定着させた。1週間散水養生を行い、シート補強は材齢28日以降に実施した。タイプA、タイプB供試体のコンクリートの圧縮強度は、載荷試験時で各々 30.2N/mm^2 、 38.6N/mm^2 であった。代表的な供試体のシート補強状況および載荷条件を図-1に示す。載荷条件は、支点間距離 160cm 、曲げスパン 80cm の2点集中単調曲げ載荷とし、せん断スパン有効高さ比(a/d)は2.0とした。

3. 実験結果および考察

膨張ペーストによる炭素繊維シートひずみは、測定位置あるいは供試体により変動は大きいものの、載荷試験直前までに膨張材量40%および55%使用時に、高強度シートでは各々約 3000μ 、 $4000\sim4500\mu$ 、高弾性シートでは各々約 1500μ 、 3000μ のひずみが生じた。シートの破断ひずみは、高強度シートで 17000μ 、高弾性シートで 6600μ であるので、シートの緊張力はシートの引張強度の20~50%程度であった。

図-2に荷重とせん断補強材のひずみの関係を示す。シートを緊張したタイプB供試体とシート接着したタイプA供試体とでせん断補強材のひずみの変化に差が観察された。タイプB供試体のスターラップとシートのひずみの増加率はほぼ等しく、斜めひびわれ発生後からシートがせん断力に対して有効に抵抗している。一方、タイプA供試体では、斜めひびわれ発生後のシートの負担は小さく、

せん断補強材		タイプA供試体		タイプB供試体		
炭素繊維シート	目付量 種類	スチーリング	供試体名	$P_w \cdot \sigma_w^*$ (N/mm ²)	供試体名	$P_w \cdot \sigma_w^*$ (N/mm ²)
未使用	—	N	供試体名	0.00	P	0.00
100g/m ²	高弹性	D6@10cm	N10	1.48	P10	1.48
	高強度	D6@10cm	N10-E100	1.84	P-E100	2.11
	—	N-H100	—	3.32	P10-E100	3.59
200g/m ²	高弹性	D6@10cm	N10-E200	2.78	P-E100	2.89
	高強度	D6@10cm	N10-H100	4.26	P10-H100	4.36
	—	N-E200	—	3.69	P-E200	4.22
200g/m ²	高弹性	D6@10cm	N10-E200	5.16	P10-E200	5.70
	高強度	N-H200	—	5.57	P-H200	5.77

: せん断補強量は次式による $p_w \cdot \sigma_w^ = p_s \cdot \sigma_s + p_{cf} \cdot \sigma_{cf}$
 p_s 、 p_{cf} : スチーリングおよび炭素繊維シートのせん断補強比
 σ_s 、 σ_{cf} : スチーリングの降伏強度および炭素繊維シートの破断強度

表-2 炭素繊維シートの力学的特性

種類	目付量 (g/m ²)	比重	設計厚さ (mm)	タイプA供試体		タイプB供試体	
				引張強度 (N/mm ²)	弾性係数 (N/mm ²)	引張強度 (N/mm ²)	弾性係数 (N/mm ²)
高弹性	100	1.84	0.0543	2510	4.33×10^5	2870	4.33×10^5
	200	1.84	0.1086	(4210)	(4.36×10^5)	(4210)	(4.36×10^5)
高強度	100	1.80	0.0556	3680	2.24×10^6	3820	2.24×10^6
	200	1.80	0.1111	(4900)	(2.30×10^6)	(4900)	(2.30×10^6)

()内の数値は炭素繊維シート単体の特性

表-3 膨張ペーストの示方配合

$W/(C+SF)$	$SF/(C+SF)$	$EP/(C+SF)$	単位(kg/m ³)			
			W	C	SF	EP
60	20	40	550	733	184	367
		55	525	700	175	481

SF:シリカフューム EP:膨張材

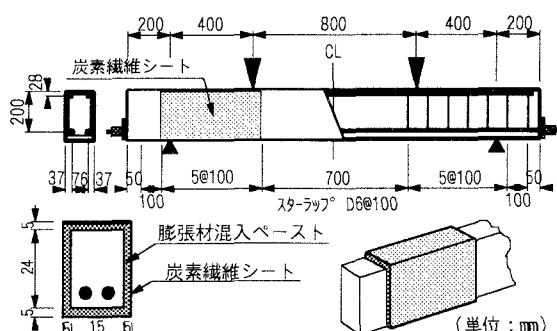


図-1 供試体の補強状況および載荷条件

Takayuki KOJIMA, Nobuaki TAKAGI, Koji HIGASHINO, Koji ITOH

その後スリップするよう急激にひずみが増加した後、タイプB供試体と同様にせん断力を負担している。シートを緊張することによってシートのスリップ現象が現れず、斜めひびわれ発生直後からシートが効果的にせん断力を負担しているものと考えられる。

代表的なシート破断を示した破壊状況を図-3に示す。破壊状況に着目すると、タイプAおよびタイプB供試体ともにシートが破断した直後、脆性的なせん断破壊で終局に至った。シートの破断箇所は、タイプA供試体では斜めひびわれにほぼ沿っているが、タイプB供試体では供試体軸方向に生じており、シートの緊張の有無により相違が観察された。

せん断破壊荷重とせん断補強量の関係を図-4に示す。P-E100(EP=40%)供試体およびP-E200(EP=55%)供試体のせん断力の実験値は、計算値を下回る結果となり、シートははりの圧縮コーナー部で軸方向に破断していた。これら2つの供試体の載荷試験後の観察から、シートの破断箇所周辺への膨張ペースト注入が不十分であったことが、シート破断およびそれに伴うせん断耐力の低下の原因であることが明らかになった。膨張ペースト注入が不十分でシートが早期に破断した供試体、曲げ破壊したN-H200供試体を除くと、幾分の変動はあるものの、シート緊張の有無に関わらず、せん断補強量が増えるにつれ、せん断破壊荷重が増加している。また、せん断破壊した供試体の実験値は計算値を上回っており、安全側の値を示した。膨張ペーストの注入が適切であれば、せん断耐力はせん断補強量をパラメーターとして安全側に評価することができる。

4.まとめ

(1) 膨張ペーストを使用して予め炭素繊維シートを緊張することにより、斜めひびわれ発生直後からシートはせん断力を効果的に負担することができる。

(2) 膨張ペーストの注入が適切であれば、せん断耐力はせん断補強量をパラメーターとして安全側に評価できる。

【参考文献】

- [1] 加藤、児島、高木、濱田：“炭素繊維シートによる鉄筋コンクリートはりのせん断補強効果に関する実験的研究”，コンクリート工学年次論文報告集，Vol.18 No.2, pp.101-106, 1996

表-4 載荷試験結果および計算耐力

供試体名	タイプA供試体						タイプB供試体						
	計算値(kN)			実験結果(kN)			供試体名	計算値(kN)			実験結果(kN)		
	P _{mu}	P _{vu}	P _{ver}	P _u	形式	実/計		P _{mu}	P _{vu}	P _{ver}	P _u	形式	
N	115	100	130	S	1.13	P		125	105	153	S	1.22	-
N10	192	115	253	S	1.31	P10		202	120	305	S	1.51	-
N-E100	211	131	319	S*	1.51	P-E100		235	141	180	S**	0.77	175
N10-E100	288	135	338	S*	1.17	P10-E100	417	312	160	333	S*	1.07	181
N-H100	260	132	298	S*	1.14	P-H100	427	276	132	295	S*	1.07	149
N10-H100	337	130	338	S*	1.00	P10-H100		353	143	400	S*	1.13	150
N-E200	307	142	330	S*	1.07	P-E200		345	-	-	-	-	150
N10-E200	384	145	411	S*	1.07	P10-E200		422	-	-	-	-	187
N-H200	405	137	358	F	0.88	P-H200		426	-	-	-	-	160

P_{mu}:曲げ破壊荷重 P_{vu}:せん断破壊荷重 P_{ver}:斜めひびわれ発生荷重 P_u:最大荷重 S:せん断圧縮破壊 F:曲げ破壊 実/計:(実験値)/(計算値) *:炭素繊維シートの破断によって破壊した供試体

**:アーチ注入が不十分では、はりの圧縮コーナー部に沿ってシートが破断
計算値P_{vu}=2V, V=V_c+V_w, V_c=0.20β_aβ_p(t')^{1/3}{0.75+1.4/(a/d)}b_wd, V_w=(p_w·σ_w)b_wz

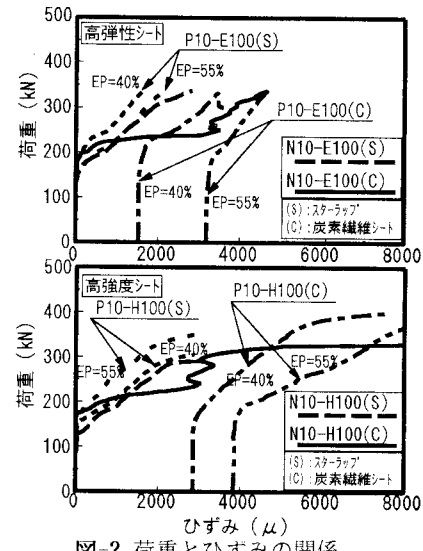


図-2 荷重とひずみの関係

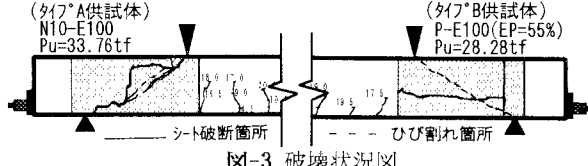


図-3 破壊状況図

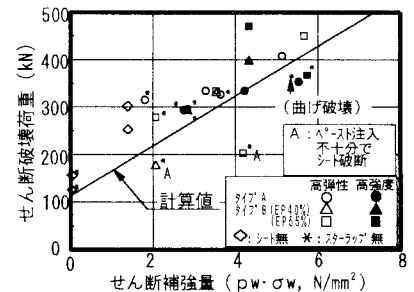


図-4 せん断破壊荷重とせん断補強量の関係